

文章编号: 0254- 5357(2002)03- 0227- 03

# 交换树脂- 活性炭动态吸附极谱法 测定矿石中的微量铂

郑 浩, 金世兰, 曾 杨, 许晓洁, 甄保新  
(新疆矿产实验研究所, 新疆 乌鲁木齐 830000)

**摘要:** 矿石中微量铂经 717 阴离子交换树脂- 活性炭动态吸附富集后, Pt 的回收率在 95% ~ 103%。以  $\text{H}_2\text{SO}_4$ -  $\text{NH}_4\text{Cl}$ - 六次甲基四胺- 硫酸联氨为底液, 极谱法测定。方法经 GBW 系列国家标准物质分析检验, 结果与标准值相符, 对  $w(\text{Pt}) = 6.4 \times 10^{-9}$  的 GBW 07290 国家标准物质测定 7 次,  $RSD = 7.1\%$ 。方法适用于矿石中 Pt 含量在  $10^{-6}$ ~ $10^{-9}$  级的测定。

**关键词:** 树脂; 活性炭; 富集; 铂; 极谱法

**中图分类号:** O652. 6; O614. 826      **文献标识码:** B

目前极谱法测定矿石中的微量 Pt<sup>[1]</sup>, 大都采用小试金富集或硫脲沉淀分离富集后进行测定<sup>[2]</sup>。本文采用矿石经王水溶解后直接通过阴离子树脂- 活性炭混合动态吸附达到富集 Pt 的目的。在此过程中大部分呈阳离子状态的元素被分离, 贵金属元素呈氯络阴离子被富集, 经试验在此极谱底液中存在一定量的贵金属氯络阴离子对测定 Pt 无干扰。方法简便, 流程短, 成本低, 污染小, 适用于矿石中微量 Pt 的测定。

## 1 实验部分

### 1.1 主要试剂与仪器

717 阴离子交换树脂: 将市售树脂破碎至 0.175~0.147 mm(80~100 目), 蒸馏水浸泡 1 d, 加入 1 mol/L HCl 浸泡 4 h, 用蒸馏水洗至中性, 浸泡在水中备用。

活性炭: 将市售粉状活性炭用分析纯 6 mol/L HCl、3.8 mol/L HF 浸泡处理, 用布氏漏斗加抽气泵进行抽滤, 蒸馏水洗活性炭至中性后抽干, 在 110℃ 烘干备用。

$\text{H}_2\text{SO}_4$  9 mol/L, HCl 1.5 mol/L,  $\text{NH}_4\text{Cl}$  200 g/L, 所用试剂均为分析纯。

Pt 标准溶液: 称 0.1000 g 纯铂片(优级纯)于

烧杯中, 王水溶解并蒸至小体积, 加 0.2 g 固体  $\text{NH}_4\text{Cl}$ , 在水浴上蒸干, HCl 赶  $\text{HNO}_3$  2 次, 用 8 mol/L 的 HCl 浸取并转入 1000 mL 容量瓶中冲至刻度。此溶液为  $\rho(\text{Pt}) = 0.1000 \text{ g/L}$ , 再用 1.5 mol/L 的 HCl 将 Pt 标准溶液逐级稀释配制成: 0.0010, 0.0100, 0.0500 和 0.1000 mg/L 的标准工作液。

保护剂:  $\rho(\text{AgNO}_3) = 2 \text{ g/L}$ 。

极谱底液的配制: 取 0.56 g 六次甲基四胺 [( $\text{CH}_2$ )<sub>6</sub>N<sub>4</sub>], 0.03 g 硫酸联氨( $\text{NH}_2\text{NH}_2 \cdot \text{H}_2\text{SO}_4$ )于 1000 mL 容量瓶中, 另取 15 g  $\text{NH}_4\text{Cl}$  于烧杯中, 溶解后移入容量瓶中, 加水使其全部溶解后, 加入 0.4 mL 9 mol/L  $\text{H}_2\text{SO}_4$ , 用水冲至刻度摇匀, 放置 24 h 后使用。

717 树脂- 活性炭吸附柱装置: 选用直径为 30 mm, 高为 100 mm 的玻璃吸附柱, 先在吸附柱中垫入一张滤纸片, 加入少许纸浆不要压平, 中间呈凹形附在管壁上抽干, 加入约 1~2 g 处理好的 717 树脂于管中凹处, 抽干后加入活性炭纸浆约 15 mm 厚, 抽干压平, 使整个树脂- 活性炭纸浆层为 25~30 mm 厚度, 上层再垫一张滤纸片, 在吸附柱上加直径 80 mm 的布氏漏斗, 漏斗中放入一滤纸片, 然后铺一层滤纸浆抽干即可。吸附装置见图 1。

收稿日期: 2002-01-24; 修订日期: 2002-05-30

作者简介: 郑浩(1953- ), 男, 山西五台人, 高级工程师, 从事化学分析工作。

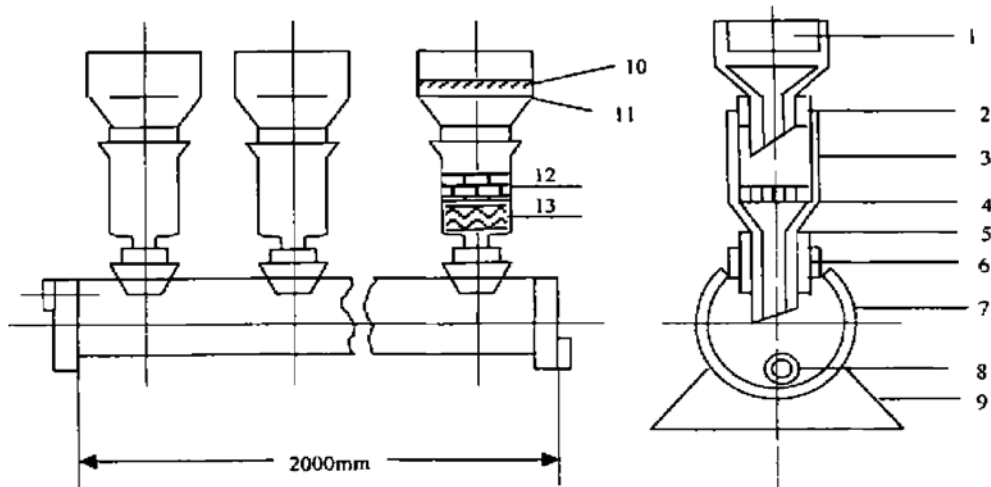


图1 717树脂-活性炭吸附柱装置

Fig. 1 Schematic diagram of adsorbing columns with 717<sup>#</sup> anionic-exchanger resin and activated charcoal

1—布氏漏斗  $\varnothing$  80 mm; 2—胶塞 7<sup>#</sup>; 3—吸附柱内径 30 mm, 高 100 mm; 4—滤板  $\varnothing$  28 mm; 5—胶塞 7<sup>#</sup>; 6—吸附柱插孔  $\varnothing$  32 mm;  
7—抽滤箱; 8—排水口; 9—抽气箱底座; 10—滤纸浆; 11—滤纸片; 12—活性炭, 纸浆; 13—树脂与纸浆。

JP-2型或JP303型示波极谱仪,三电极,二阶导数。

## 1.2 实验方法

称取5~30 g试样于100 mL瓷坩埚中,放置马弗炉内,由低温升至600~700℃灼烧1~2 h,取出移入250 mL烧杯中,加入50 mL H<sub>2</sub>O润湿,再加入50 mL新配制的王水,搅匀,盖上表面皿在电热板上微沸分解矿样1 h,取下趁热加入10 g/L动物胶溶液10 mL,搅拌,补加适量热水,使酸度 $\varphi_{\text{H}_2\text{O}}<10\%$ ,分次将全部矿样倾入预先准备好的树脂-活性炭动态吸附装置,进行抽滤吸附,控制流速约1 min 60滴,用0.6 mol/L温HCl洗净烧杯,再洗布氏漏斗8次,抽干,取下漏斗,再用0.6 mol/L温HCl洗活性炭-树脂纸浆饼6次,清水洗3次,抽干取出纸浆饼于30 mL瓷坩埚中,加入1 mL 2 g/L的AgNO<sub>3</sub>溶液,放入马弗炉中由低温升至650℃灼烧灰化1 h,冷却。加4滴100 g/L NaCl及5 mL新配制的王水,在沸水浴上蒸干。用HCl赶HNO<sub>3</sub>2次。取下,加入1.5 mol/L的HCl 5 mL溶解盐类,转入50 mL容量瓶中,用1.5 mol/L HCl冲至刻度摇匀。分取2 mL此溶液于20 mL瓷坩埚中,加入2滴200 g/L NH<sub>4</sub>Cl溶液,在水浴上蒸干后,取下,准确加入10 mL底液摇匀,放置20 min待充分溶解后,在示波极谱仪上,三电极,二阶导数,原点电位-0.80 V测定Pt。

## 1.3 标准曲线

分取0.010 mg/L Pt的标准溶液,使Pt的质量为:0.000、0.001、0.002、0.004、0.005、0.01、0.02、0.04、0.05 μg于20 mL瓷坩埚中,滴加2滴200 g/L NH<sub>4</sub>Cl,在水浴上蒸干,准确加入10 mL底液。以下分析手续同样品。

## 2 结果与讨论

### 2.1 吸附试验

采用717树脂-活性炭吸附后,其回收率(*R*)明显高于单独717树脂或单独活性炭纸浆法。随着铂量的增大,富集能力有所降低,但Pt<40 μg回收率令人满意。根据以上对比实验,故选用717树脂加活性炭纸浆作富集剂。实验结果见表1。

表1 不同富集剂富集效果试验

Table 1 Preconcentration efficiency with different adsorbents

加入量 added	<i>m</i> (Pt)/μg			<i>R</i> /%		
	717树脂 717 <sup>#</sup> resin	活性炭 activated charcoal	本法 this method	717树脂 717 <sup>#</sup> resin	活性炭 activated charcoal	本法 this method
5	4.3	4.8	4.9	86.0	96.0	98.0
10	8.24	9.53	10.3	82.4	95.3	103
20	14.8	15.9	19.7	74.0	79.5	98.5
30	21.7	23.5	28.9	72.3	78.3	96.3
40	28.4	30.8	38.1	71.0	77.0	95.3
50	30.3	37.4	46.5	60.6	74.8	93.0

## 2.2 干扰离子试验

在吸附过程中一般呈阳离子状态的元素大部分被分离掉, 溶液中存在的量很小, 一般不影响 Pt 的测定。试验表明在测定样品时, 金属阳离子允许量(  $\mu\text{g}$  )为  $\text{Cu}^{2+}$  、 $\text{Ni}^{2+}$  、 $\text{Co}^{2+}$  、 $\text{Al( III)}$  、 $\text{Pb}^{2+}$  、 $\text{Zn}^{2+}$  100,  $\text{Mg}^{2+}$  150,  $\text{Cd}^{2+}$  200,  $\text{Mn}^{2+}$  30 和  $\text{Sn( IV)}$  50。由于大部分贵金属元素能形成氯络阴离子被吸附, 因此进行了贵金属元素的干扰试验。表 2 的结果表明, 在所选定的极谱底液中存在一定量的贵金属元素对 Pt 的测定无干扰。

表 2 干扰元素试验<sup>①</sup>

Table 2 Elemental interference test

干扰元素 inter. element	$m_{\text{B}}/\mu\text{g}$	$m(\text{Pt})/\mu\text{g}$	$R/\%$	干扰元素 inter. element	$m_{\text{B}}/\mu\text{g}$	$m(\text{Pt})/\mu\text{g}$	$R/\%$
	加入量 added	测量值 found	recovery		加入量 added	测量值 found	recovery
Au	100	4.9	98	Rh	0.5	5.1	102
	200	5.1	102		1.0	4.98	99.6
	300	4.8	96	Ir	1.5	5.02	100.4
	500	4.9	98		0.5	4.95	99
Ag	100	5.0	100	Ir	1.0	5.06	101.2
	200	4.9	98		2.0	4.98	99.6
	300	4.95	99	Os	1.0	4.94	98.8
	500	4.9	98		2.0	5.02	100.4
	1000	5.1	102	Ru	4.0	4.97	99.4
	2000	4.9	98		1.0	4.96	99.2
	100	4.96	99.2		2.0	5.07	101.4
Pd	200	5.05	101		4.0	4.97	99.4
	300	5.02	100.4				

① 加入 5  $\mu\text{g}$  Pt 进行试验。

## 2.3 精密度、检出限试验

用国家标准样品 GBW 07290(GPt-3) 和 GBW 07289(GPt-2) 对此方法作精密度和准确度试验, 结果见表 3。

取样品空白做 12 次平行测定, 按 3 倍的标准偏差计算检出限为 0.02 ng/g。

## 2.4 样品对照试验

为此方法有适应性, 作者进行了样品的对比试验。本方法与标准值或小试金光谱法测得值无明显差异, 结果见表 4。

## 2.5 注意事项

① 底液配制后不宜立即使用, 放置 24 h 以后才趋于稳定, 以后 Pt 的催化电流随放置时间的延长而逐渐降低。如果底液中不加硫酸联氨, 则 7 d

内保持相对稳定, 加入硫酸联氨后可以减缓六次甲基四胺的水解, 则底液放置 20 d 内保持相对稳定。

表 3 精密度和准确度试验

Table 3 Results of precision and accuracy tests

样号 sample No.	标准值 standard	$w(\text{Pt})/10^{-9}$			RSD/ %
		测量值 found	$\bar{x}$	$s$	
GBW 07290	$6.4 \pm 0.9$	6.5 5.9 7.1	6.7 6.2 6.1	0.46	7.1
GBW 07289	$1.6 \pm 0.3$	1.3 1.6 1.4 1.6 1.3	1.5 1.5 1.7 1.7 1.3	0.21	13.1

表 4 样品分析结果

Table 4 Analytical results of platinum in samples

样号 sample No.	$w(\text{Pt})/10^{-9}$	
	标准值 <sup>①</sup> standard	本法 this method
GBW 07289	$1.6 \pm 0.3$	1.6
GBW 07290	$6.4 \pm 0.9$	6.5
GBW 07291	58 ± 5	54
GBW 07292	20 ± 4	23
DZG-1	$4.0 \pm 1$	3.6
91Y486-154	30	34
91Y486-177	110	127
91Y486-137	150	143

① DZG-1 样品为推荐值, 91Y486 系列样品为小试金富集光谱法测定值。

② 在此底液中, 所产生的极谱波属于氢催化波, 催化电流随温度、汞柱高度和底液组成浓度的变化而变化。气温高, 催化电流增大; 梅柱高, 催化电流增大。因此不能用固定标准曲线, 必须随样品带标准曲线, 标准和样品必须在相同条件下测定。

③ 在树脂-活性炭吸附富集 Pt 时, 要注意抽滤流速不要太快, 以免吸附不完全。流速可控制为每分钟 50~60 滴(可在吸附柱上看出)。

## 3 参考文献

- [1] 王禹平. 矿石中微量铑和铂的极谱连续测定[J]. 有色金属分析通讯, 1987, (4): 16—17.
- [2] 岩石矿物编写组. 岩石矿物分析[M]. 第一分册(第三版). 北京: 地质出版社, 1991. 883—887.

(英文下转第 238 页)

(英文上接第229页)

## Oscillopolarographic Determination of Platinum in Ores after Dynamic Concentration with Anionic Exchange Resin and Activated Charcoal

ZHENG Hao, JIN Shi-lan, ZENG Yang, XU Xiao-jie, ZHEN Bao-xin  
(Xinjiang Experimental Institute of Minerals, Urumuqi 830000, China)

**Abstract:** A method for the determination of platinum in ores was developed in this paper. In the medium of  $\text{H}_2\text{SO}_4^- \text{NH}_4\text{Cl}^- [(\text{CH}_2)_6\text{N}_4]^- \text{NH}_2\text{NH}_2^+\text{H}_2\text{SO}_4$  platinum was determined by oscillopolarography after dynamic concentration with anionic exchanger resin and activated charcoal. The method has been applied to the determination of platinum in national standard reference samples. The results are in agreement with the certified values with precision of 7.1% RSD ( $n=7$ ). The method is suitable for the determination of platinum in ores with platinum concentration range of  $10^{-6} \sim 10^{-9}$ .

**Key words:** resin; activated charcoal; preconcentration; platinum; oscillopolarography